

# ÉTUDE DE QUELQUES STRIGÉIDÉS D'AUSTRALIE ET NOTES SUR LE GENRE *FIBRICOLA* DUBOIS 1932

Par Georges DUBOIS

## Introduction

Le matériel utilisé pour cette étude appartient à la collection de l'Ecole de Salubrité publique et de Médecine tropicale (« School of Public Health and Tropical Medicine ») de l'Université de Sydney. C'est grâce à la grande obligeance de M. le Professeur Harvey Sutton, Directeur de cette institution, que nous avons pu examiner cette collection dont une partie seulement nous parvint de Sydney, tandis que le reste, envoyé au British Museum quelques années auparavant pour être identifié, nous fut prêté très aimablement et avec l'assuagement de M. Sutton, par M. le Professeur D<sup>r</sup> H.-A. Baylis qui pensait s'occuper lui-même de la détermination.

C'est ainsi que nous avons pu compléter nos nombreuses observations sur les Strigéidés par une étude des espèces australiennes dont les exemplaires furent recueillis principalement par M. le Professeur William Nicoll, au Queensland, en 1913.

Nicoll a décrit lui-même trois des formes australiennes qu'il avait récoltées, *Hemistomum brachyurum*, *Strigea promiscua* et *Strigea flosculus*. Malheureusement, aucun spécimen de cette dernière n'a pu être retrouvé dans la collection précitée et c'est d'autant plus regrettable qu'il n'existe aucune figure de ce parasite, connu seulement par la diagnose originale. Par contre, M. le Professeur Sutton nous a envoyé les types et les paratypes de *Hemistomum brachyurum* et de *Strigea promiscua*, ce qui nous permet d'en faire l'étude et d'en publier quelques dessins.

Les formes non identifiées étaient nouvelles. La plupart étaient des *Strigeini*. La détermination en fut des plus difficiles, en raison de leur similitude apparente.

Nous exprimons ici nos remerciements très sincères à M. le Professeur Harvey Sutton, qui a mis cette collection de valeur à notre disposition avec une extrême obligeance, et à M. le D<sup>r</sup> H.-A. Baylis qui a bien voulu se dessaisir du matériel dont il disposait temporairement pour nous en confier la détermination.

## FAMILLE : STRIGEIDÆ RAILLIET

## SOUS-FAMILLE : STRIGEINÆ RAILLIET (1)

1. *Strigea promiscua* Nicoll 1914

Le matériel-type était contenu dans le flacon n° 145 étiqueté : « *Strigea promiscua* Nicoll, de *Ninox maculata*, intestine ; Townsville ; collected by W. Nicoll, 24-3-13. » L'exemplaire-type est conservé « in toto » et porte le numéro T. 41. Il existe, en outre, une série de coupes sagittales, numérotées T. 45-49.

Un second lot était contenu dans le flacon n° 238 étiqueté : « *Strigea promiscua* Nicoll, de *Ninox boobook*, intestine ; Townsville ; collected by J.-W.-F., 18-7-12. »

Le corps est bisegmenté. La partie antérieure, ovoïde, à ouverture étroite ou moyenne, ressemble à celle de *Strigea strigis* (Schrank). La partie postérieure, trapue, sacciforme, est plus longue et un peu plus large que la précédente ; elle présente, en arrière des testicules, une constriction plus ou moins marquée qui délimite la bourse copulatrice, comme c'est aussi le cas chez *Strigea falconis* Szidat. Le pore génital est terminal, largement ouvert, le pore excréteur subterminal, ventral.

La ventouse buccale est située au bord de l'ouverture du segment antérieur où elle fait parfois un peu saillie. Le pharynx contigu est aussi grand, souvent même plus grand et plus musculéux que la ven-

(1) Outre les espèces dont nous donnons ici la description, la faune australienne compte encore d'autres représentants de la famille des *Strigeidae* : ce sont tout d'abord les formes décrites par S. J. Johnston (1904) et dont il a été impossible de retrouver le matériel original, malgré les recherches faites par les soins de M. le professeur T. Harvey Johnston, à Adelaïde, et des institutions suivantes : « The Public Library, Museum and Art Gallery of South Australia » d'Adelaïde, « Queensland Museum » de Brisbane, « The Technological Museum » de Sydney, « The Australian Museum » de Sydney, « School of Public Health and Tropical Medicine » de Sydney. Ces Trématodes sont : *Apatemon intermedius* (Johnston, 1904) mihi, *Apharyngostrigea simplex* (Johnston, 1904) Szidat, 1928, *Cardiocephalus hilli* (Johnston, 1904) Szidat, 1928, *Cardiocephalus musculosus* (Johnston, 1904), Szidat, 1928. Une nouvelle espèce, *Apharyngostrigea repens* (Chase, 1921) mihi est venue s'ajouter à cette liste ; elle ressemble à *Apharyngostrigea flexilis* Dubois, 1934.

Quant à *Apatemon intermedius* (Johnston), parasite du duodénum du cygne noir (*Chenopsis atrata* Lath.), il n'a été considéré comme un *Strigeidae* ni par Krause (1914, p. 232), qui le cite parmi les Hémistomes, ni par Szidat (1929), qui n'en fait pas mention dans sa « Revision du genre *Strigea* ». Il est voisin d'une espèce nouvelle, *Apatemon fuhrmanni* n. sp., que Fuhrmann (1934, p. 107) a signalée, sous le nom d'*Apatemon gracilis* (Rud.), comme parasite de cygnes blancs provenant de Suède (infestés en outre par un schistosome et par six cestodes différents) : longueur totale : 2,46-2,85 mm. dont le tiers pour le segment antérieur ; largeur : 0,66-0,82 mm. ; diamètres : ventouse buccale : 170  $\mu$  ; ventouse ventrale : 250  $\mu$  ; pharynx : 90/80-90  $\mu$  ; ovaire : 200  $\mu$  ; testicules : 405/360  $\mu$  ; cône génital : 420/220-250  $\mu$  ; hôte : *Cygnus olor* L.

touse buccale, ce qui constitue un caractère spécifique utilisable dans la détermination. L'œsophage bifurque devant la ventouse ventrale et les cæca se terminent au niveau de la constriction délimitant la bourse copulatrice.

Les testicules sont grossièrement lobés et excavés ventralement. Le bord antérieur du premier se trouve entre les 30 et les 37/100° de la longueur du segment postérieur. Les vasa efferentia remon-

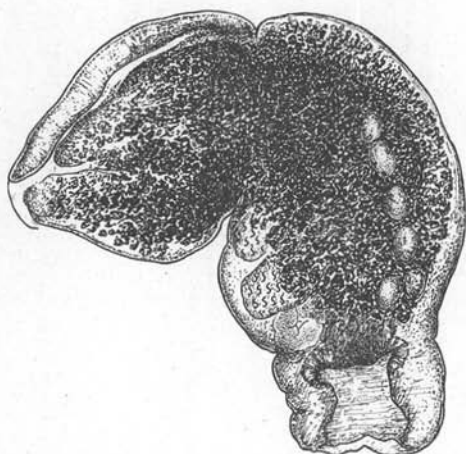


Fig. 1. — *Strigea promiscua* Nicoll, de *Ninox boobook* Lath. (Fl. n° 238).  
Vue latérale ; longueur : 2,46 mm.

tent antérieurement et confluent en arrière de l'ovaire, d'où le vas deferens redescend au fond de l'échancrure médiane et ventrale des testicules, en se dilatant peu à peu jusqu'à la vésicule séminale ; le canal éjaculateur débouche dans l'utérus, à l'entrée du cône génital.

L'ovaire est situé entre les 24 et les 28/100° de la longueur du segment postérieur. Le canal de Laurer débouche dorsalement, au niveau du premier testicule. La glande de Mehlis et le réservoir vitellin occupent l'espace intertesticulaire. L'utérus remonte antérieurement jusqu'à la limite des deux parties du corps et redescend ventralement pour traverser le cône génital dont les dimensions sont en moyenne 360-400, 230-270  $\mu$ . L'atrium génital est une cavité largement ouverte, profonde de 240 à 360  $\mu$ , dont les parois sont pourvues à la base d'un anneau musculaire (« Ringnapf ») bien déve-

loppé. Les œufs sont très nombreux et mesurent 101-114, 65-79  $\mu$ .

Les glandes vitellogènes envahissent les deux parties du corps. Dans le segment antérieur, les follicules pénètrent dans les deux lobes de l'organe tribocytique et dans la paroi dorsale de la coupe jusqu'au niveau du bord postérieur de la ventouse buccale. Dans le segment postérieur, leur densité est maximum en avant de l'ovaire ; plus en arrière, ils sont limités à la face ventrale et s'arrê-

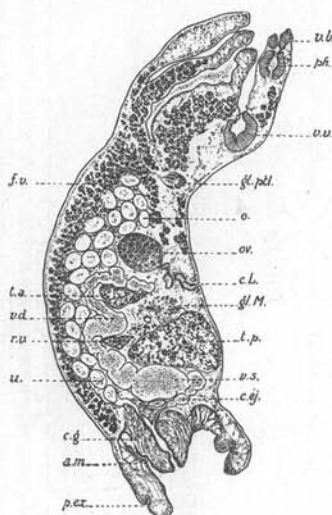


FIG. 2. — *Strigea promiscua* Nicoll, de *Ninox maculata* Vig. et Horsf. (Fl. n° 145). Coupe saggitale ; longueur : 2,52 mm.

tent assez brusquement au-devant de la bourse copulatrice, à une distance de 300 à 450  $\mu$  de l'extrémité postérieure du corps, ce qui constitue un caractère de différenciation important.

	d'après Nicoll	d'après Dubois
Longueur totale .....	2,3-3,5 mm.	2-3,96 mm.
Longueur du segment antérieur ..	—	0,78-1,41 mm.
Longueur du segment postérieur..	—	1,20-2,55 mm.
Largeur du segment antérieur ...	—	0,57-1,14 mm.
Largeur du segment postérieur ..	—	0,60-1,20 mm.
au niveau de la bourse copulatrice .....		0,43-0,78 mm.
Rapport $\frac{\text{long. segment antérieur}}{\text{longueur totale}} =$	2/5	35 à 43-100

Rapport $\frac{\text{long. segment postérieur}}{\text{long. segment antérieur}} =$	—	1,32-1,81
--	---	-----------

Diamètres :

de la ventouse buccale .....	170 $\mu$	100-150/100-145 $\mu$
du pharynx .....	150-170 $\mu$	125-145/117-145 $\mu$
de la ventouse ventrale .....	250 $\mu$	170-215/150-200 $\mu$
de l'ovaire .....	500-250 $\mu$	380-500/170-250 $\mu$
du testicule antérieur .....	—	500-540/330-390 $\mu$
du testicule postérieur .....	—	600-660/400-420 $\mu$

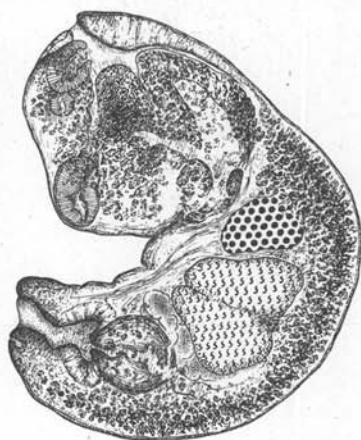


FIG. 3. — *Strigea baylisi* nov. spec., de *Carphibis spinicollis* Jameson. (Fl. n° 312). Vue latérale ; longueur : 1,20 mm.

## 2. *Strigea baylisi* nov. spc.

Les exemplaires de cette espèce proviennent de l'intestin d'un oiseau de l'ordre des *Gressores* (fam. *Plegadidæ*), *Carphibis spinicollis* Jameson. Ils ont été récoltés par William Nicoll à Cromarty, le 31 juillet 1913, et étaient contenus dans le flacon n° 312, étiqueté « *Strigea* ».

Le corps, dont la longueur totale varie de 1 mm., 07 à 2 mm. 55, est divisé en deux parties par une constriction bien marquée du côté dorsal, mais à peine sensible du côté ventral. L'axe longitudinal est fortement arqué. Le segment antérieur est ovoïde à bulbiforme, à petite ouverture, avec saillie de la ventouse ventrale à la face dorsale. Le segment postérieur, plus long, subcylindrique et progres-

sivement atténué vers l'arrière, a un profil convexe ventralement et concave dorsalement.

	Longueur	Diamètre
	—	—
Segment antérieur .....	0,42-1,11 mm.	0,45-0,96 mm.
Segment postérieur .....	0,63-1,44 mm.	0,36-0,75 mm.
Rapport $\frac{\text{longueur du segment postérieur}}{\text{longueur du segment antérieur}}$	= 1,11-1,75.	

La ventouse buccale, submarginale, est située à l'extrémité de la paroi dorsale du segment antérieur, au fond d'une incisure médiane

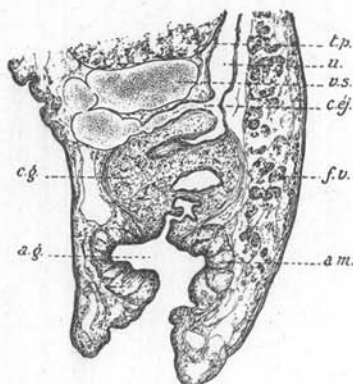


FIG. 4. — *Strigea baylisi* nov. spec., de *Carphibis spinicollis* Jameson. (Fl. n° 312). Coupe sagittale de l'extrémité postérieure.

du bord de la coupe, profonde de 135 à 150  $\mu$  chez les grands exemplaires. Elle apparaît donc quelquefois assez profondément retirée dans la cavité de ce segment qui abrite les deux lobes rétractés de l'organe tribocytique et au milieu duquel on observe la ventouse ventrale, plus grande que la précédente.

Diamètre de la ventouse buccale .....	90-126/ 90-115 $\mu$
— du pharynx .....	45- 90/ 45- 75 $\mu$
— de la ventouse ventrale .....	120-170/120-145 $\mu$
Situation de la ventouse ventrale dans le segment antérieur : 45-60/100.	

Le diamètre du pharynx est environ deux fois plus petit que celui de la ventouse orale. L'œsophage est court et les cæca attei-

gnent l'extrémité postérieure du corps. La glande protéolytique, bien développée, se trouve à la limite des deux parties du corps.

Les testicules, non lobés et contigus, mesurent 180 à 300  $\mu$  de diamètre dorso-ventral et 150 à 225  $\mu$  de diamètre antéro-postérieur. Le bord antérieur du premier s'observe entre les 20 et les 30/100° de la longueur du segment postérieur, le bord postérieur du second entre les 50 et les 61/100°. Les vasa efferentia remontent antérieurement et confluent en arrière de l'ovaire pour former le vas deferens qui redescend ventralement par rapport aux testicules. La vésicule séminale, située en arrière de ceux-ci, se prolonge par un canal éjaculateur qui débouche dans l'utérus à son entrée dans le cône génital.

L'ovaire, qui mesure 140 à 270  $\mu$  de diamètre dorso-ventral et 90 à 180  $\mu$  de diamètre antéro-postérieur, est situé entre les 13 et les 21/100° de la longueur du segment postérieur. De la glande de Mehlis, occupant l'espace intertesticulaire avec le réservoir vitellin, l'utérus remonte antérieurement jusqu'au delà de l'ovaire, où il se recourbe pour descendre ventralement et traverser le cône génital mesurant 180 à 270  $\mu$  de grand axe longitudinal et 140 à 235  $\mu$  d'axe transversal. L'atrium génital est une cavité assez irrégulière dont l'ouverture, voisine du pore excréteur, est terminale, dont le fond est considérablement élargi et dont les parois sont pourvues à la base d'un anneau musculaire (« Ringnapf ») bien développé ; sa profondeur atteint 150 à 235  $\mu$ . Le canal de Laurer débouche au niveau de l'espace intertesticulaire.

Les glandes vitellogènes s'étendent dans les deux parties du corps. Dans le segment antérieur, les follicules n'envahissent que la paroi dorsale de la coupe et les deux lobes de l'organe tribocytique ; dans le segment postérieur, ils sont situés ventralement et atteignent presque l'extrémité du corps ; il y a peu de follicules en avant de l'ovaire.

Les œufs mesurent 97-106, 62-76  $\mu$ .

(Voir tableau comparatif, p. 243).

### 3. *Strigea suttoni* nov. spec.

Le matériel provient du duodénum d'un oiseau de l'ordre des *Passeres* (fam. *Prionopidæ*), *Grallina picata* Lath. Il a été récolté par William Nicoll à Cromarty, le 3 octobre 1913 et porte le numéro 405 de la collection.

Le corps, dont la longueur totale varie de 0 mm., 92 à 1 mm., 68, est divisé en deux parties par une constriction bien marquée du

côté dorsal, mais à peine sensible du côté ventral. L'axe longitudinal est fortement arqué. Le segment antérieur est ovoïde, bulbiforme à subglobulaire, cupuliforme chez les jeunes exemplaires. Le segment postérieur, plus long, à largeur maximum dans la première partie, a un profil convexe ventralement et presque rectiligne dorsa-

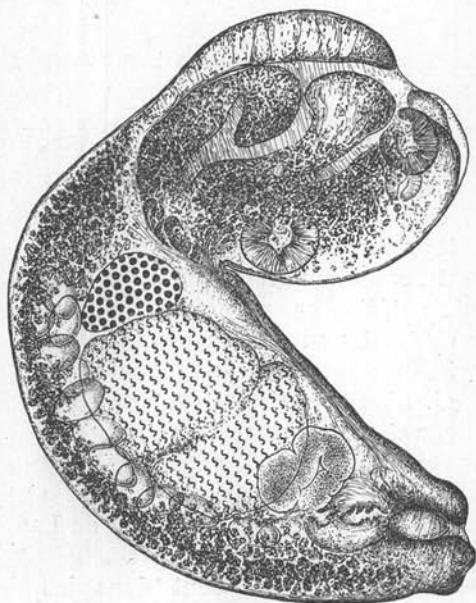


FIG. 5. — *Strigea sultoni* nov. spec., de *Grallina picata* Lath. (Fl. n° 405). Vue latérale ; longueur : 1,56 mm.

lement ; son diamètre diminue progressivement en arrière du premier testicule.

	<i>Longueur</i>	<i>Diamètre</i>
Segment antérieur .....	0,36-0,63 mm.	0,41-0,60 mm.
Segment postérieur .....	0,54-1,05 mm.	0,33-0,51 mm.
Rapport $\frac{\text{longueur du segment postérieur}}{\text{longueur du segment antérieur}}$	= 1,18-2,06.	

La ventouse buccale, située à l'extrémité de la paroi dorsale du segment antérieur, ne fait jamais saillie à l'ouverture généralement



étroite de ce dernier. Au contraire, sur les préparations « in toto », elle apparaît même un peu retirée dans la cavité spacieuse qui abrite les deux lobes rétractés de l'organe tribocytique et au fond de laquelle s'observe la ventouse ventrale plus grande que la précédente. Le diamètre du pharynx est deux fois plus petit que

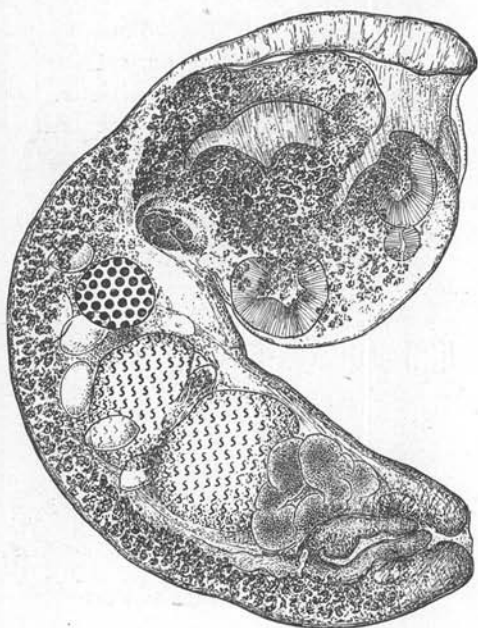


Fig. 6. — *Strigea suttoni* nov. spec., de *Grallina picata* Lath. (Fl. n° 405). Vue latérale ; longueur : 1,68 mm.

celui de la ventouse orale. L'œsophage est court et les cæca atteignent l'extrémité postérieure du corps. La glande protéolytique, bien développée, se trouve à la limite des deux segments.

Diamètre de la ventouse buccale .....	108-162/108-135 $\mu$
— du pharynx .....	54-65 $\mu$
— de la ventouse ventrale .....	140-180 $\mu$
Situation de la ventouse ventrale dans le segment antérieur : 67-83/100.	

Les testicules, non lobés, excavés ventralement et contigus, mesurent 280 à 330  $\mu$  de diamètre dorso-ventral et 200 à 250  $\mu$  de diamètre antéro-postérieur. Le bord antérieur du premier s'observe entre les

19 et 24/100° de la longueur du segment postérieur, le bord postérieur du second entre les 63 et les 73/100°. Les vasa efferentia remontent antérieurement et s'unissent en arrière de l'ovaire pour former le vas deferens qui redescend ventralement par rapport aux testicules. La vésicule séminale, pelotonnée en arrière de ceux-ci, se prolonge par un canal éjaculateur qui débouche dans l'utérus, au point même où ce dernier pénètre dans le cône génital.

L'ovaire, qui mesure 200 à 210  $\mu$  de diamètre dorso-ventral et 110 à 140  $\mu$  de diamètre antéro-postérieur, est situé entre les 14 et les 17/100° de la longueur du segment postérieur. L'utérus, issu de la glande de Mehlis intertesticulaire, remonte antérieurement jus-

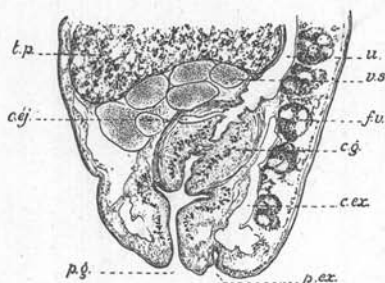


FIG. 7. — *Strigea suttoni* nov. spec., de *Grallina picata* Lath. (Fl. n° 405). Coupe sagittale de l'extrémité postérieure.

qu'à la limite des deux parties du corps pour redescendre ventralement et traverser le cône génital qui mesure 135 à 230  $\mu$  de grand axe longitudinal et 90 à 145  $\mu$  d'axe transversal. L'atrium génital est une petite cavité profonde de 80 à 140  $\mu$  seulement et dont l'anneau musculaire (« Ringnapf ») des parois est peu développé. Le pore génital est terminal ; le pore excréteur, très proche, s'observe ventralement par rapport au précédent. Le canal de Laurer s'ouvre au niveau de l'espace intertesticulaire.

Les glandes vitellogènes s'étendent dans les deux parties du corps. Dans le segment antérieur, les follicules n'envahissent que la paroi dorsale de la coupe et les deux lobes de l'organe tribocytique où leur densité est très forte. Dans le segment postérieur, ils sont situés ventralement et atteignent presque l'extrémité du corps. Il n'y a pas de follicules entre l'ovaire et la glande protéolytique très rapprochés l'un de l'autre.

Les œufs mesurent 90-117, 60-72  $\mu$ , avec une moyenne de 106-64  $\mu$ . (Voir tableau comparatif, p. 243).

4. *Strigea nicolli* nov. spec.

Cette espèce, recueillie par William Nicoll à Cromarty, le 28 août 1913, provient du duodénum d'un oiseau de l'ordre des *Larolimicolæ* (fam. *Burhinidæ*), *Burhinus grallarius* Lath. Les spécimens étaient contenus dans le flacon n° 354, étiqueté « *Strigea* ».



FIG. 8. — *Strigea nicolli* nov. spec., de *Burhinus grallarius* Lath. (Fl. n° 354). Coupe sagittale ; longueur : 1,23 mm.

Le corps, dont la longueur totale varie de 0 mm., 72 à 1 mm., 56, est divisé en deux parties par une constriction bien marquée sur le côté dorsal seulement. L'axe longitudinal est fortement arqué. Le segment antérieur, largement ouvert, varie de forme d'un exemplaire à l'autre. Le segment postérieur, plus long, est, soit réniforme, diminuant de diamètre dès le niveau de la vésicule séminale, soit ovoïde et appointé dans sa partie distale. Le pore sexuel est terminal et le cône génital fait souvent saillie. Le pore excréteur, très voisin, est à peine déplacé ventralement.

	Longueur	Diamètre
Segment antérieur .....	0,36-0,57 mm.	0,38-0,42 mm.
Segment postérieur .....	0,36-0,99 mm.	0,30-0,59 mm.
Rapport $\frac{\text{longueur du segment postérieur}}{\text{longueur du segment antérieur}}$	= 1,71-2.	

La ventouse buccale ne fait pas saillie à l'extrémité antérieure ; elle est même légèrement retirée dans la cavité du premier segment et contiguë au pharynx, plus petit. La ventouse ventrale, plus grande, n'était visible que sur les coupes et apparaissait repliée (voir figure), ce qui laisse supposer que son diamètre (à l'état normal) doit correspondre à la plus grande des dimensions données ci-dessous. L'œsophage est court et les cæca atteignent presque l'extrémité postérieure du corps. La glande protéolytique, bien développée, se trouve à la limite des deux segments.

Diamètre de la ventouse buccale .....	117-120/100 $\mu$
— du pharynx .....	70-80/50-60 $\mu$
— de la ventouse ventrale .....	150/100-120 $\mu$

Les testicules, à bords entiers ou à peine lobés, excavés ventralement et contigus, mesurent 250 à 290  $\mu$  de diamètre dorso-ventral et 180 à 210  $\mu$  de diamètre antéro-postérieur. Le bord antérieur du premier s'observe entre les 26 et les 28/100<sup>e</sup> de la longueur du segment postérieur, tandis que le bord postérieur du second se situe entre les 60 et les 72/100<sup>e</sup>. Les vasa efferentia remontent antérieurement pour confluer derrière l'ovaire où le vas deferens a son origine. Celui-ci redescend ventralement par rapport aux testicules dont il suit le contour et aboutit à la vésicule séminale pelotonnée en arrière de ces derniers. Le canal éjaculateur atteint l'utérus à son entrée dans le cône génital.

L'ovaire est situé entre les 17 et les 20/100<sup>e</sup> de la longueur du segment postérieur. Il mesure 135  $\mu$  de diamètre dorso-ventral et 80  $\mu$  de diamètre antéro-postérieur. L'oviducte atteint la glande de Mehlis intertesticulaire, tandis que le canal de Laurer débouche dorsalement à la hauteur du premier testicule. L'utérus remonte antérieurement, dépassant à peine l'ovaire, puis se recourbe pour redescendre ventralement et traverse le cône génital qui occupe à peu près toute la cavité de la bourse copulatrice dont la profondeur varie de 70 à 125  $\mu$  et dont le pore est terminal. L'anneau musculaire (« Ringnapf ») est très faiblement développé.

Les glandes vitellogènes s'étendent dans les deux parties du corps. Dans le segment antérieur, les follicules envahissent la moitié inférieure des deux lobes de l'organe tribocytique et la paroi dorsale de la coupe. Dans le segment postérieur, ils sont situés ventralement et atteignent l'extrémité postérieure du corps ; ils pénètrent donc dans la paroi de la bourse copulatrice. Le réservoir vitellin est intertesticulaire.

Les œufs, observables sur les coupes seulement, mesuraient 94-98, 58-65  $\mu$  (sections maximum).

Le tableau comparatif suivant résume les caractères de différenciation de ces trois dernières espèces de *Strigea* :

	<i>Strigea baylisi</i>	<i>Strigea suttoni</i>	<i>Strigea nicolli</i>
Pharynx.....	2 fois plus petit que la ventouse buccale.	2 fois plus petit que la ventouse buccale.	1 fois 1/2 plus petit que la ventouse buccale.
Situation de la ventouse ventrale.....	Au milieu de la longueur du segment antérieur.	Dans la seconde moitié du segment antérieur.	?
Situation du bord postérieur du II <sup>e</sup> testicule....	50-61/100.	63-73/100.	60-72/100.
Anneau musculaire dans la paroi de l'atrium génital.....	Bien développé.	Peu développé.	Très faiblement développé.
Atrium génital...	Profond, élargi au niveau de l'anneau musculaire.	Étroit.	Complètement occupé par le cône génital.
Cône génital.....	Un peu plus grand que l'ovaire, non saillant au pore sexuel.	De la grandeur de l'ovaire, non saillant au pore sexuel.	Faisant presque toujours saillie au pore sexuel.
Profondeur de l'atrium génital.	150-235 $\mu$ .	80-140 $\mu$ .	70-125 $\mu$ .
Hôtes.....	<i>Grossores</i> .	<i>Passeres</i> .	<i>Laro-Limicolæ</i> .

5. *Strigea glandulosa* nov. spec.

Les deux exemplaires qui représentent cette espèce proviennent de l'intestin d'un *Falconidæ* limité à l'Australie, la Nouvelle-Guinée et la Nouvelle-Calédonie, *Haliastur sphenurus* Gould. Ils ont été recueillis à Cromarty, le 22 octobre 1913, par William Nicoll et se trouvaient dans le flacon n° 413, étiqueté « *Strigea* ».

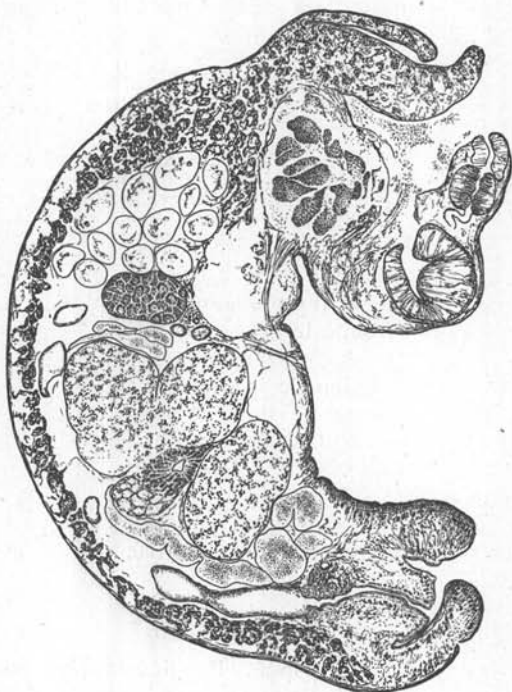


FIG. 9. — *Strigea glandulosa* nov. spec., de *Haliastur sphenurus* Gould. (Fl. n° 413). Coupe sagittale ; longueur : 1,90 mm.

La longueur totale du ver est de 1 mm., 5 à 1 mm., 9.

La forme du corps rappelle assez celle de *Strigea strigis* (Schrank), car le segment antérieur, ovoïde à bulbiforme, un peu surbaissé, plus large que long, a une ouverture assez étroite, livrant passage au lobe ventral de l'organe tribocytique. Le segment postérieur sacciforme, resserré en arrière des testicules, environ deux fois plus long, est séparé du précédent par une constriction transversale bien marquée. Contrairement à ce qui existe chez *Strigea falconis* Szidat, la bourse copulatrice n'est pas délimitée. Le pore sexuel est terminal, le pore excréteur subterminal, ventral.

	Longueur	Diamètre
Segment antérieur .....	0,54-0,57 mm.	0,66 mm.
Segment postérieur .....	0,93-1,36 mm.	0,65-0,66 mm.
Rapport $\frac{\text{longueur du segment postérieur}}{\text{longueur du segment antérieur}}$	= 1,63-2,55.	

La ventouse buccale, bien que terminale, ne fait pas saillie comme c'est le cas chez *Strigea falconis* Szidat, car la paroi dorsale du segment antérieur est de même longueur que la paroi ventrale. Elle a approximativement les mêmes dimensions que le pharynx contigu. La ventouse ventrale, plus grande, est située à peu près au milieu de la longueur du segment antérieur. L'œsophage est court et les cæca se terminent au niveau du fond de la bourse copulatrice.

Chez les deux exemplaires, le lobe dorsal de l'organe tribocytique apparaît beaucoup plus réduit que le lobe ventral ; un des caractères spécifiques réside dans le développement extraordinaire de la glande protéolytique, refoulée presque entièrement dans le segment antérieur et dont l'axe dorso-ventral mesure à peu près la moitié du diamètre de cette partie du corps. Les dimensions de la glande sont : 290 à 300  $\mu$  de diamètre dorso-ventral et 155 à 200  $\mu$  de diamètre antéro-postérieur.

Diamètre de la ventouse buccale .....	90-117/ 90-100 $\mu$
— du pharynx .....	85- 96/ 85- 90 $\mu$
— de la ventouse ventrale .....	180-190/125-190 $\mu$
Situation de la ventouse ventrale dans le segment antérieur : 50-55/100.	

Les testicules sont grossièrement lobés et excavés ventralement sur la ligne médiane. Ils mesurent 320 à 380  $\mu$  de diamètre dorso-ventral et 225 à 380  $\mu$  de diamètre antéro-postérieur. Le bord antérieur du premier s'observe entre les 30 et les 33/100° de la longueur du segment postérieur, le bord postérieur du second entre les 70 et les 77/100°. Les vasa efferentia remontent antérieurement pour confluer en arrière de l'ovaire et constituer le vas deferens qui redescend ventralement, suivant la courbure des testicules. De la vésicule séminale, s'échappe un petit canal éjaculateur qui débouche dans l'utérus, à l'entrée de celui-ci dans le cône génital.

L'ovaire, plus petit que les testicules, ne mesure que 200 à 225  $\mu$  de diamètre dorso-ventral et 140  $\mu$  de diamètre antéro-postérieur. Il est situé entre les 20 et les 25/100° de la longueur du segment postérieur. Le canal de Laurer débouche dorsalement au niveau du

premier testicule. La glande de Mehlis et le réservoir vitellin occupent l'espace intertesticulaire. L'utérus remonte antérieurement jusqu'à la limite des deux segments du corps, puis redescend ventralement pour traverser le cône génital massif dont l'axe s'incurve légèrement du côté ventral, si bien que l'ouverture du canal hermaphrodite ne se trouve pas en face du pore sexuel, mais dirigée obliquement dans la direction du pore excréteur et abritée par la paroi ventrale de la bourse copulatrice. Cette disposition particulière permet également de distinguer l'espèce de *Strigea falconis* Szidat. Le cône génital est très surbaissé et occupe toute la cavité peu profonde de l'atrium dont les parois sont dépourvues d'anneau musculaire (« Ringnapf »). Les œufs, observables sur les coupes seulement, avaient comme dimensions 96, 65-70  $\mu$ .

Les glandes vitellogènes s'étendent dans les deux parties du corps. Dans le segment antérieur, les follicules, qui envahissent même la paroi ventrale, ont une densité plus faible que dans le segment postérieur. Dans ce dernier, ils s'accumulent en avant de l'ovaire où ils sont refoulés par l'utérus rempli d'œufs, puis forment un ruban ventral très dense qui s'épaissit encore et remonte latéralement en arrière des testicules pour se terminer obliquement au-devant de la bourse copulatrice.

Cette forme, que nous considérons comme nouvelle, se distingue de *Strigea falconis* Szidat par les caractères suivants :

1) Forme du corps ; bourse copulatrice non délimitée par une constriction transversale au niveau même où se terminent les follicules vitellogènes.

2) Développement extraordinaire de la glande protéolytique.

3) Forme du cône génital et de la cavité de la bourse copulatrice ; situation de l'ouverture du canal hermaphrodite ; absence d'anneau musculaire (« Ringnapf »).

Elle diffère également de *Strigea mcgregori* Tubanguï par les caractères suivants, propres à cette dernière :

1) Dimensions plus grandes (jusqu'à 3 mm., 27, d'après le matériel original).

2) Segment antérieur largement ouvert.

3) Bourse copulatrice délimitée par une constriction transversale au point où s'arrêtent les follicules vitellogènes.

4) Situation de l'ovaire et des testicules plus en arrière.

5) Faible densité des follicules vitellogènes dans le segment antérieur.



6. *Strigea falconis* Szidat 1928

Les exemplaires de cette espèce proviennent de l'intestin d'un *Falconidæ* limité à l'Australie et à la Nouvelle-Guinée, *Hieracidea orientalis* Schl.

Quoique plus petits, ils présentent tous les caractères de l'espèce européenne décrite par Szidat. Les deux indices spécifiques les plus apparents sont : 1) la situation de la ventouse buccale en saillie au bord du segment antérieur utriforme ; 2) la terminaison des follicules vitellogènes au-devant de la bourse copulatrice.

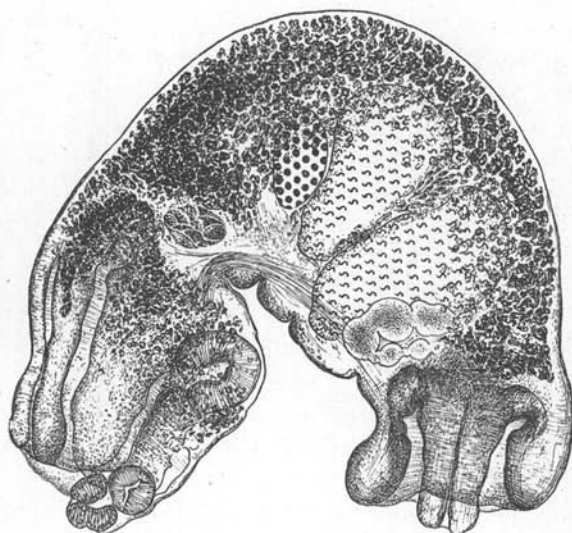


FIG. 10. — *Strigea falconis* Szidat, de *Hieracidea orientalis* Schl. (Pl. n° 198). Vue latérale ; longueur : 1,68 mm.

Longueur totale : 1,56-1,68 mm.	Longueur	Diamètre
Segment antérieur .....	0,54 mm.	0,47-0,49 mm.
Segment postérieur .....	1,02-1,14 mm.	0,45-0,57 mm.
Diamètre de la ventouse buccale .....		89-104 $\mu$
— du pharynx .....		85- 94 $\mu$
— de la ventouse ventrale .....		160-180/150-160 $\mu$
Situation de la ventouse ventrale dans le segment antérieur : 67-73/100.		
Diamètre de l'ovaire .....		180-260/108-170 $\mu$
— des testicules .....		270-390/180-250 $\mu$
Situation de l'ovaire dans le segment postérieur : 25-26/100.		
Diamètre du seul œuf observé : 100/66 $\mu$ .		

(à suivre).